

京都大学工学部 正員 寺島 康

はじめに

本報告は、管理型の海面埋立処分場の護岸や砂丘、および片側型の埋立てを行った場合について、埋立てにおける水・汚濁物の移動のモデル化と埋立て進行と共に内水面水質変化の予測方法を示したものである。

埋立て構造のモデル化と水・汚濁物移動に関する主要現象

図-1に示すように、丁日分の一定量の廃棄物が一層に埋立てられて1ブロックを形成するが、陸上部と海中部分の廃棄物性状は異なるとする。実行部とBとする。初期内水体積 V_0 は $V_0 = BLh_0$ 、丁日当り海中埋立て体積 $V_L = Blh_0$ 、丁日当り陸上埋立て体積 $V_u = Blh_u$ 、1ブロック体積 $V = V_0 + V_L$ となる。

埋立てにおける水・汚濁物移動の主要現象としては、1) 廃棄物投入時の海水圧への初期溶出と海水排除、2) 海中埋立て部と海底堆積部分の隙間水中汚濁物の埋立て前端面からの拡散溶出、3) 海中埋立て部分の底面と土の隙間水と汚濁物の押し出し、4) 陸上埋立て部分への降雨の浸透による隙間水と汚濁物の鉛直浸出、層内水平流動による埋立て前端面からの流出、5) 降雨の表面流出と汚濁物流出をとりあげる。2)の機構については埋立てブロック前端面積の拡大率 α を導入する。3)と4)の現象は2)3)と関連するが、現段階では浸透水の水平流動を層内海水面上の密度流とみなして独立現象、2)3)も同様に独立現象とする。

水収支と汚濁物流出・溶出・浸出のモデル

1. 水収支モデル

a. 降雨浸透・流出；定常な平均降雨 t のうち t_0 が浸透、 t_1 が表面流出、 t_2 が蒸発するとする。また降雨の浸透と水平流動による流出は埋立てブロックの各進行段階で定常であると仮定する。

$$\text{nブロックの埋立てから次の埋立てまでの丁日間にみたる埋立て前端面からの表面流出量 } Q_m^s = mlBr_s T \quad (1)$$

$$\text{nブロックの埋立てから次の埋立てまでの丁日間にみたる埋立て前端面からの浸出水量 } Q_m^i = mlBr_i T \quad (2)$$

b. 底面流動；海中部分の隙間率変化の計を対象にして、隙間率変化の溶出への影響は無視する。投入直後の初期隙間率を f_0 、底面後の最終隙間率を f_m 、底面可能隙間率 f_p とし、底面と土の隙間率変化を(3)式で表わすと、nブロック埋立て後丁日間は $1-n$ ブロックから前端面通過して押し出された水量 Q_m^p は(4)式となる。

$$f_i = f_0 \exp(-\beta_i) + f_{\infty}, \quad i; \text{投入手日数}, \beta; \text{底面速度係数} \quad (3) \quad Q_m^p = mV_L + \{1 - \exp(-\beta_m T)\} \quad (4)$$

c. 投入廃棄物による海水排除；i日当りの埋立て分量 G_i 、海中投入量 G_x 、投入前含水率 P 、隙間水の真密度 P_w 、廃棄物の真密度 P_s 、投入後埋立て隙間率 f_t とすると、1ブロック分の投入による排水量 Q_m^t は、

$$Q_m^t = G_i T / \{(1-P)/P_s + P/P_w\} \quad (5) \quad V_L \text{ と } G_x \text{ の関係は } V_L = V_s / (1-f_t) = G_x (1-P) / P_s (1-f_t) \quad (6)$$

d. 内水面への水量収支；蒸発量と差し引く降雨量 t とすると、nブロック埋立て後丁日間の内水面降雨量 Q_m^r は(7)式。以上よりnブロック前端面からの内水面への流出量 Q_m^r 、内水面からの外浦への排出量 Q_m^o は(8)、(9)式となる。

$$Q_m^r = (L - ml) Br_r T, \quad (L/l = N > n) \quad (7) \quad Q_m^r = Q_m^s + Q_m^i + Q_m^p \quad (8) \quad Q_m^o = Q_m^s + Q_m^i + Q_m^p + Q_m^t + Q_m^r \quad (9)$$

2. 内水面への汚濁負荷の流出・溶出・浸出のモデル

a. 表面流出と汚濁負荷；流出水濃度を C^s とすれば前端面からの流出汚濁負荷 $M_m^s = C^s Q_m^s$ (10)

b. 降雨浸透による溶出と浸出汚濁負荷；廃棄物単位重量当たり汚濁物溶出ボテンシャル(最大可能溶出量) g_{so} のうち、表面溶出量 g_{s0} 、内部拡散溶出量 g_{i0} 、生物分解溶出量 g_{b0} 、 g_{s0} と g_{i0} の和を物理・化学溶出量 g_0 、 g_0 と g_{b0} の合計時間 t_{so} 濃度 g_{so} 、 g_b とする。 $g_{so} = g_{s0} + g_{i0} + g_{b0}$ (11) $g_b = g_{s0} + g_{i0}$ (12)

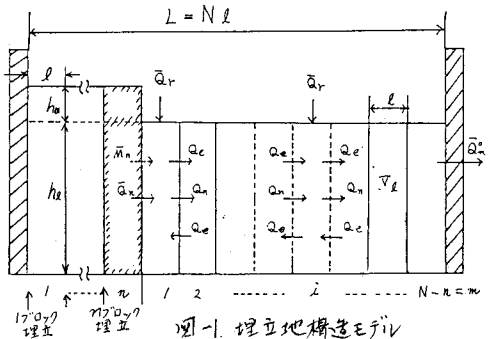


図-1 埋立て構造モデル

陸上埋立層への汚濁物溶出と物動は(13)～(15)式、初期・通常条件は(16)式のようモデル化した。

$$\frac{\partial C}{\partial t} + (1-f)P/f \cdot (\frac{\partial E}{\partial t} + \frac{\partial E_b}{\partial t}) = D \frac{\partial^2 C}{\partial x^2} - u \frac{\partial C}{\partial x}, \quad u = k_1/f \quad (13)$$

$$\frac{\partial E}{\partial t} = -k_1 E + k_2 C + k_3 C (E_b - E) \quad (14) \quad \frac{\partial E_b}{\partial t} = -k_4 E_b \quad (15)$$

$$C(0, t) = 0, \quad C(x, 0) = C_0, \quad E(x, 0) = E_0, \quad E_b(x, 0) = E_{b0} \quad (16)$$

C_s ；隙間水中飽和濃度、 k_1, k_2, k_4 ；速度係数、 D ；浸透水の分散係数、 u ；隙間内実流速

陸上埋立廃棄物層への実験と解釈と想定に、実条件に対する漏出濃度 $C(h_x, t)$ を示す。図-2の $C(h_x) \sim t$ 曲線を得た後、 n が $1, 2, \dots, m$ ；既埋立時間 t を数えて；毎日 $n=1$ で t より n までの T 日間の漏出量荷は、 C ～ t 曲線における時間 $(j-1)T$ と jT 間の平均の C を C_j と $j=1 \sim (m-1)$ 式で表す。この $n=1, 2, \dots, m$ が $n=1$ で t の前端面まで密度流漏出する確積と別途解析する必要があるが、粗段階では生物学的減衰を含めて(18)式で到達率 F_j を定義する。従て $m=1, 2, \dots, n$ 埋立後 T 日間に前端面から流出する $m=(j-1)T$ と jT 、全 $n=1$ で t の累荷は(19), (20)式で表す。

$$\Delta M_{n-(j-1)}^d = l k_1 B T C_j \quad (17) \quad F_j = f(j, T) = F_i \exp(-f(j-1)T) \quad (18)$$

$$\Delta M_{n-(j-1)}^d = l k_1 B T C_j F_j \quad (19) \quad M_n^d = \sum_{j=1}^m \Delta M_{n-(j-1)}^d = l k_1 B \sum T C_j F_j \quad (20)$$

c. 石炭流動 K と汚濁物漏出負荷； $n=1$ で t の前端面から T 日間に既埋

立部分から石炭が x で漏出する量荷は、隙間水平衡濃度 C を C_{e0} として、 $M_n^p = n T e + C_{e0} \{1 - \exp(-B M T)\}$ (21)

d. 海中埋立層、海底沈積層での溶出；海中埋立部分では溶出が拡散支配であるので、溶出の影響を含めて有効拡散係数 D_e を定義し、拡散は遅速であるとして埋立層と半無限領域とみなすと、溶出・拡散の簡略モデルIVと初期・通常条件は(21), (22)式のよう表示され、前端面 $x=0$ で T 日間漏出量荷は(23), (24)式で表す

$$\frac{\partial C}{\partial t} = D_e \frac{\partial^2 C}{\partial x^2} \quad (21) \quad C(0, t) = C_n^w \quad (\text{初期濃度}), \quad C(x, 0) = C_0 \quad (22)$$

$$F_{x=0} = -D_e \frac{\partial C}{\partial x}|_{x=0} = (C_0 - C_n^w) \sqrt{D_e / \pi t} \quad (23) \quad M_n^d = \lambda B h_e \int_0^T F_{x=0} dt = 2 \lambda B h_e (C_0 - C_n^w) \sqrt{D_e T / \pi} \quad (24)$$

e. 海中投入時 $x=0$ での溶出量荷；表面溶出量 E_{so} の相当部分が平衡濃度 C_s で、 C_s, C_{n+1}^w と $x=0$ で溶出する量荷 E 、飽和濃度、 $(m-1)T$ で t 埋立後の前端面 $x=m$ の水濃度 C_m^w とすると、溶出量荷 M_n^d は

$$M_n^d = E_{so} G_e T \left\{ 1 - (C_{n+1}^w / C_s)^{\delta} \right\} \quad (25)$$

海水側水質変化のモデル

a. 完全混合モデル； $n=1$ で t 埋立と同時に x まで Q^t が形成され、 Q^t が漏出して完全混合 x 、濃度 C_m^w となり、 T 日の間に分解速度より濃度減少した $T(m+1)$ で t 埋立前と他の質量、質荷が漏入漏出しで完全混合 x 、濃度 C_m^w となるとする。 x 前面距離と $V_m = T_0 - m T_e$ とすると。

$$C_{m0}^w = \{C_{n+1}^w (T_{m+1} - Q^t) + M_n^d\} / V_m \quad (26) \quad C_m^w = [C_{n+1}^w e^{-kT} \{T_m - (Q^s + Q_m^s + Q_p^s + Q_m^d)\} + (M_n^s + M_m^s + M_m^p + M_m^d)] / V_m, \quad (27)$$

b. 構造モデルIVと計算法；図-1のよう n 層構成層で $n=1$ で t の海中体积 T_e を等しくして、 n 個の T_e を $m = N - m$ 槽に分割する、 $n=1$ で t の埋立 x 、 $n-1$ で t の x に 1 槽 x 分 1 槽の海水は移動して $n=1$ で t の x に 1 槽 x 分 1 槽と形成し、最終槽の海水は外海へ排出せば n 槽の総量は m となる。 $n=1$ で t から n 槽への流入水量 Q_m と質荷量 M_m 、降雨量 $Q_r = l B h_e$ の時間平均値を $\bar{Q}_m, \bar{M}_m, \bar{Q}_r$ とすれば、槽内の混合拡散を考慮して時間当りの交換量と $\bar{Q}_e = E T_e$ とすれば、各槽での物質收支は次式のようになる。

$$1 \text{槽} \quad T_e \frac{dC_1}{dt} = \bar{M}_m + C_2 \bar{Q}_e - (\bar{Q}_m + \bar{Q}_r + \bar{Q}_e) C_1 - k C_1 \quad (28)$$

$$i \text{槽} \quad T_e \frac{dC_i}{dt} = \{\bar{Q}_m + (i-1) \bar{Q}_r + \bar{Q}_e\} C_{i-1} + C_{i+1} \bar{Q}_e - (Q_m + i \bar{Q}_r + 2 \bar{Q}_e) C_i - k C_i \quad (29)$$

$$m \text{槽} \quad T_e \frac{dC_m}{dt} = \{\bar{Q}_m + (m-1) \bar{Q}_r + \bar{Q}_e\} C_{m-1} - (\bar{Q}_m + m \bar{Q}_r + \bar{Q}_e) C_m - k C_m \quad (30)$$

$$C_{10} = C_{n+1}^s, \quad C_{20} = C_{n+1}^2, \quad \cdots \quad C_{10} = C_{n+1}^1, \quad \cdots \quad C_{m0} = C_{n+1}^m, \quad C_{m+1} = C_m^1, \quad \cdots \quad C_{m+1} = C_m^m \quad (31)$$

$$t=0 \text{ における } n=1 \text{ が埋立された直前の各槽濃度 } E(31) \text{ が } t=T \text{ で上式を解き、 } t=T \text{ における各槽濃度 } (32)$$

が得られる。これが次の初期条件となる。但し、 $m=1$ の場合は初期条件、即ち各槽濃度は零である。

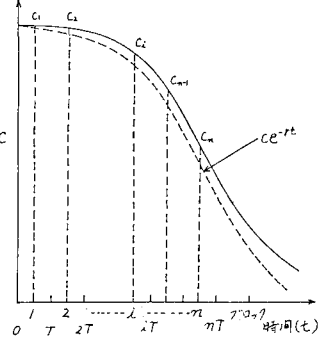


図-2. 漏出濃度曲線